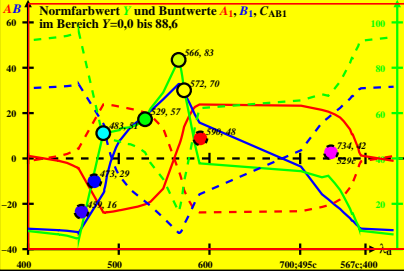
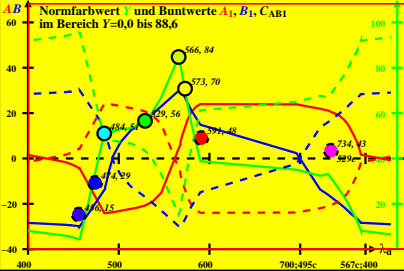


CIE-P60-Daten von -Ostwald-Farben von maximalem Buntwert C_{AB}
 $Y_w=88,6$, $Y_m=520_770$, $B_m=380_520$ und 1-Minus-Daten (- -)

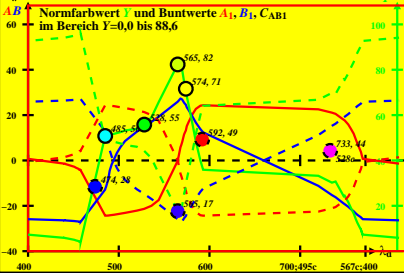


CIE-P55-Daten von -Ostwald-Farben von maximalem Buntwert C_{AB}
 $Y_w=88,6, Y_m=520_770, B_m=380_520$ und 1-Minus-Daten (- -)



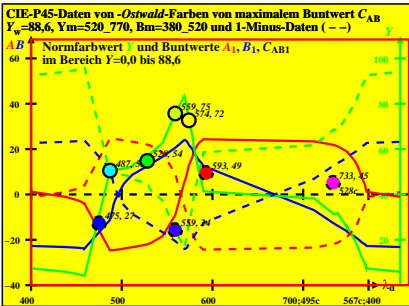
CIE-P50-Daten von -Ostwald-Farben von maximalem Buntwert C_{AB}
 $Y_w=88,6, Y_m=520_770, B_m=380_520$ und 1-Minus-Daten (- -)

AB Normfarbwert Y und Buntwerte A_1, B_1, C_{AB1}
 im Bereich $Y=0,0$ bis $88,6$



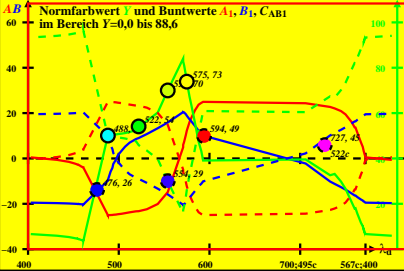
CIE-P45-Daten von -Ostwald-Farben von maximalem Buntwert C_{AB}
 $Y_w=88,6$, $Y_m=520_770$, $B_m=380_520$ und 1-Minus-Daten (- -)

AB Normfarbwert Y und Buntwerte A_1, B_1, C_{AB1}
 im Bereich $Y=0,0$ bis $88,6$

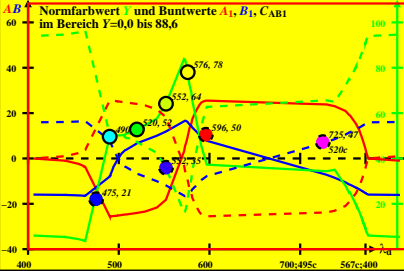


CIE-P40-Daten von -Ostwald-Farben von maximalem Buntwert C_{AB}
 $Y_w=88,6$, $Y_m=520_770$, $B_m=380_520$ und 1-Minus-Daten (- -)

AB Normfarbwert Y und Buntwerte A_1, B_1, C_{AB1}
 im Bereich $Y=0,0$ bis $88,6$



CIE-P35-Daten von -Ostwald-Farben von maximalem Buntwert C_{AB}
 $Y_w=88,6$, $Y_m=520_770$, $B_m=380_520$ und 1-Minus-Daten (- -)

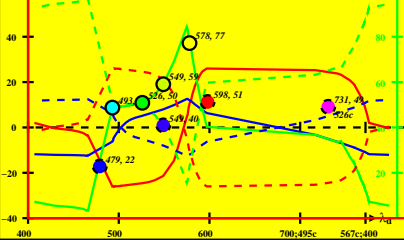


0-000030-L0

DG131-6A_6_6

CIE-P30-Daten von -Ostwald-Farben von maximalem Buntwert C_{AB}
 $Y_w=88,6$, $Y_m=520_770$, $B_m=380_520$ und 1-Minus-Daten (- -)

AB Normfarbwert Y und Buntwerte A_1, B_1, C_{AB1}
 im Bereich $Y=0,0$ bis $88,6$



0-000030-L0

DG131-6A_6_7

CIE-P25-Daten von -Ostwald-Farben von maximalem Buntwert C_{AB}
 $Y_w=88,6, Y_m=520_770, B_m=380_520$ und 1-Minus-Daten (- -)

AB Normfarbwert Y und Buntwerte A_1, B_1, C_{AB1}
 im Bereich $Y=0,0$ bis $88,6$

